

# МАТЕМАТИЧЕСКАЯ МОДЕЛЬ СИСТЕМЫ АВТОМАТИЧЕСКОГО УПРАВЛЕНИЯ ВИБРАЦИОННЫМ ЭЛЕКТРОМАГНИТНЫМ АКТИВАТОРОМ

Р.Ф. Бекишев, А.С. Глазырин, С.В. Цурпал

Томский политехнический университет

E-mail: EPATPU@mail2000.ru

*Приведены основные требования, предъявляемые к системе автоматического управления вибрационным электромагнитным активатором. Представлена математическая модель системы управления с помощью которой, проведен анализ временных и частотных характеристик электромагнитного активатора при работе в различных средах.*

Для снижения вязкости нефтепродуктов и химических жидкостей и суспензий применяют вибрационные электромагнитные активаторы (ВЭМА) с якорем специальной формы [1].

До последнего времени систем автоматического управления (САУ) вибрационными электромагнитными активаторами (ВЭМА) не существовало. Однако без САУ представляется затруднительным использо-

вать в полной мере все достоинства ВЭМА. Поэтому была поставлена задача разработки и исследования систем питания и автоматического управления ВЭМА.

Применение системы автоматического управления позволяет использовать все полезные свойства вибрационного электромагнитного активатора при работе в различных рабочих средах, в том числе при обработке высоковязких нефтепродуктов.

Приведём основные требования к разрабатываемой САУ ВЭМА [2, 3]. Система должна:

- настраиваться на максимальный КПД устройства; путь достижения – резонансный режим работы механической части с использованием дополнительной корректировки формы тока;
- настраиваться на максимальную полезную мощность, или, другими словами, на предельную амплитуду колебаний якоря – активатора;
- обеспечивать максимально возможный коэффициент мощности;
- обрабатывать аварийные ситуации, как в электрическом, так и в механическом контуре.

Одним из эффективных методов исследования САУ ВЭМА является математическое моделирование [4]. Математическая модель САУ ВЭМА включает в себя модель системы питания (силовой части САУ) и модель управляющей части САУ, рис. 1, 2.

Математическая модель САУ ВЭМА основана на системе уравнений:

$$\begin{cases} U_c(t) = U_{c,0} \sqrt{2} \sin(2\pi f_c t), \\ \Psi_K = f(U_c, frv, fpch, \delta, t), \\ i_K(\Psi_K, \delta) = \frac{H\left(\frac{\Psi_K}{w_K S_{МП}}\right) l_{МП} + \frac{\Psi_K}{w_K} R_M(\delta)}{2 \cdot w_K}, \\ F_{ЭМ}(\Psi_K) = \frac{\Psi_K^2}{w_K^2 S_{МП} \mu_0}, \\ F_{ЭМ}(t) = m_\Sigma a(t) + R_{МЭХ(V(t))} V(t) + x(t) k_\Sigma, \\ x(t) = \delta_0 - \delta(t), \\ V(t) = \frac{dx(t)}{dt}, \\ a(t) = \frac{d^2 x(t)}{dt^2}, \\ frv = f(U_0, U_1, U_2, i_1, i_K, a, t), \\ fpch = f(U_0, U_1, U_2, i_1, i_K, a, t), \end{cases} \quad (1)$$

где  $U_c$  – сетевое напряжение (здесь и далее все единицы физических величин в системе СИ),  $t$  – текущее время,  $U_{c,0}$  и  $f_c$  – действующее значение и частота сетевого напряжения,  $\Psi_K$  – потокосцепление катушки,  $frv$  и  $fpch$  – флаги состояний ключей преобразователей напряжения и частоты,  $\delta$  – величина зазора магнитной цепи,  $i_K$  – ток катушки,  $i_K(\Psi_K, \delta)$  – вебер-амперная характеристика катушки,

$B = \frac{\Psi_K}{w_K S_{МП}}$  – магнитная индукция,  $H(B)$  – основная

кривая намагничивания стальных участков магнитной цепи ВЭМА,  $F_{ЭМ}$  – электромагнитная сила, стягивающая зазор, определяемая по формуле Максвелла [5],  $k_\Sigma$  – суммарная жёсткость системы «пружина-стенка корпуса»,  $\delta_0$  – величина магнитного зазора при неработающем ВЭМА (положение рав-

новесия),  $x(t) = \delta_0 - \delta(t)$  – смещение якоря-активатора относительно положения равновесия,

$$V(t) = \frac{dx(t)}{dt} \text{ и } a(t) = \frac{d^2 x(t)}{dt^2} \text{ – скорость и ускорение}$$

якоря-активатора,  $m_\Sigma$  – суммарная колеблющаяся масса,  $R_{МЭХ(V(t))}$  – механическое сопротивление,  $U_0$  – напряжение на выходе выпрямительного моста – сигнал обратной связи с датчика напряжения ДН<sub>0</sub>,  $U_1$  – напряжение на конденсаторе накопителя  $C_1$  – сигнал обратной связи с датчика напряжения ДН<sub>1</sub>,  $U_2$  – напряжение на конденсаторе  $C_2$  («ёмкость сброса») – сигнал обратной связи с датчика напряжения ДН<sub>2</sub>,  $i_1$  – ток дросселя преобразователя напряжения – сигнал обратной связи с датчика тока ДТ<sub>1</sub>,  $frv = f(U_0, U_1, U_2, i_1, i_K, a, t)$  и  $fpch = f(U_0, U_1, U_2, i_1, i_K, a, t)$  – флаги состояния ключа преобразователя напряжения  $frv$  и состояния ключей преобразователя частоты  $fpch$ , которые как функции координат обратной связи и времени реализованы в САУ ВЭМА в соответствии с алгоритмом управления.

Математическая модель объекта управления (ВЭМА) включает в себя механический и магнитный контуры. Расчет механического контура рассмотрен в [6].

Силовая схема САУ ВЭМА состоит из преобразователей напряжения (рис. 1) и частоты (рис. 2). На схемах замещения используются следующие обозначения:  $flag_{v1} = frv$  и  $flag_{v23} = fpch$  – флаги состояний ключей преобразователей напряжения и частоты (1 – включен, 0 – выключен),  $L_{1TV}$ ,  $L_{2TV}$  – индуктивности рассеяния первичной и вторичной обмоток развязывающего трансформатора,  $M_{12TV}$  – взаимная индуктивность между обмотками трансформатора,  $R_{1TV}$ ,  $R_{2TV}$  – омические сопротивления обмоток,  $R_{\mu TV}$  – эквивалентное сопротивление потерь в стали трансформатора TV1,  $R_{дн0}$ ,  $R_{дн1}$ ,  $R_{дн2}$ ,  $R_{дт1}$ ,  $R_{дт2}$  – сопротивления датчиков напряжения и тока,  $i_{ymvt}$ ,  $i_{ymvd}$  – токи утечек транзисторных ключей и диодов,  $U_{vt}$  – падение напряжения на открытом транзисторном ключе,  $U_{vd}$  – падение напряжения на открытом диоде,  $M_{к12}$ ,  $M_{к34}$ ,  $M_{к56}$  – взаимные индуктивности и  $R_{к1}$ – $R_{к6}$  – омические сопротивления катушек ВЭМА,  $L_{к1}$ – $L_{к6}$  – индуктивности рассеяния катушек ВЭМА,  $L_1$  и  $R_1$  – индуктивность и сопротивление дросселя регулятора напряжения,  $U_{пит}$  – напряжение на входе мостового выпрямителя,  $U_{C1}$  – напряжение на накопителе  $C_1$ ,  $R_{\mu}$  – эквивалентное сопротивление потерь в стали ВЭМА (при параллельном включении катушек), определяемое как [7]

$$R_{\mu} = \frac{16 \rho_c w_K^2 S_{\mu}}{l_{\mu} \delta_a^2}, \quad (2)$$

где  $\rho_c$  – удельное электрическое сопротивление листового стали магнитопровода,  $S_{\mu}$  – площадь его поперечного сечения,  $w_K$  – число витков катушки,  $l_{\mu}$  – общая длина стальных участков и  $\delta_a$  – толщина листов стали магнитопровода.

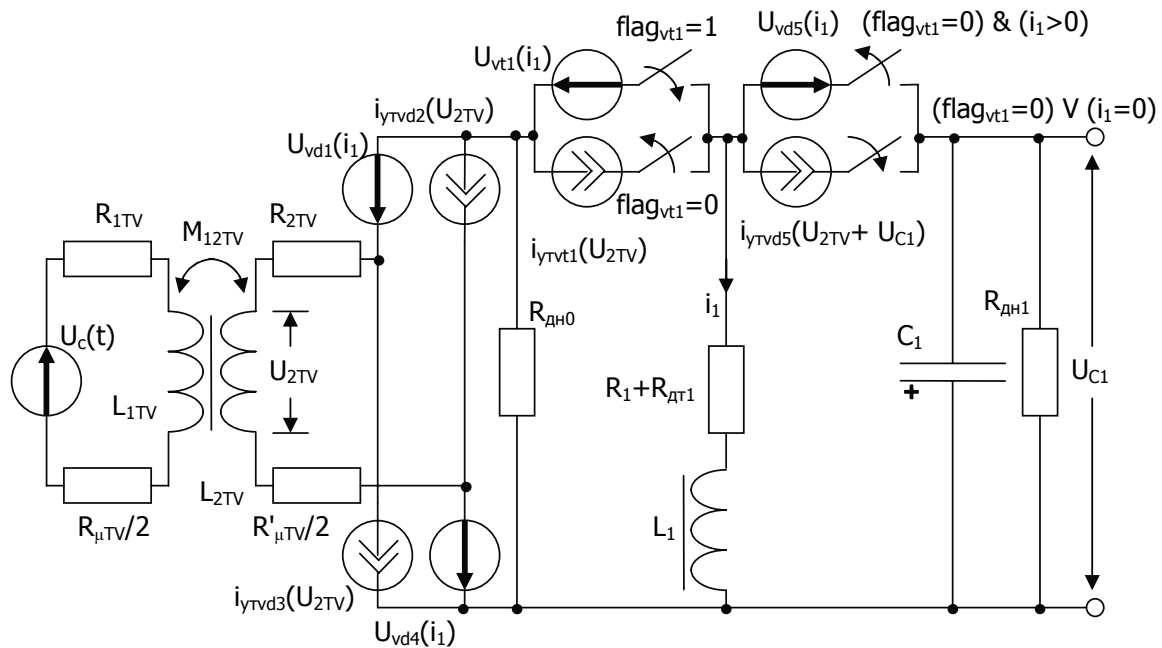


Рис. 1. Схема замещения силовой части САУ ВЭМА. Преобразователь напряжения

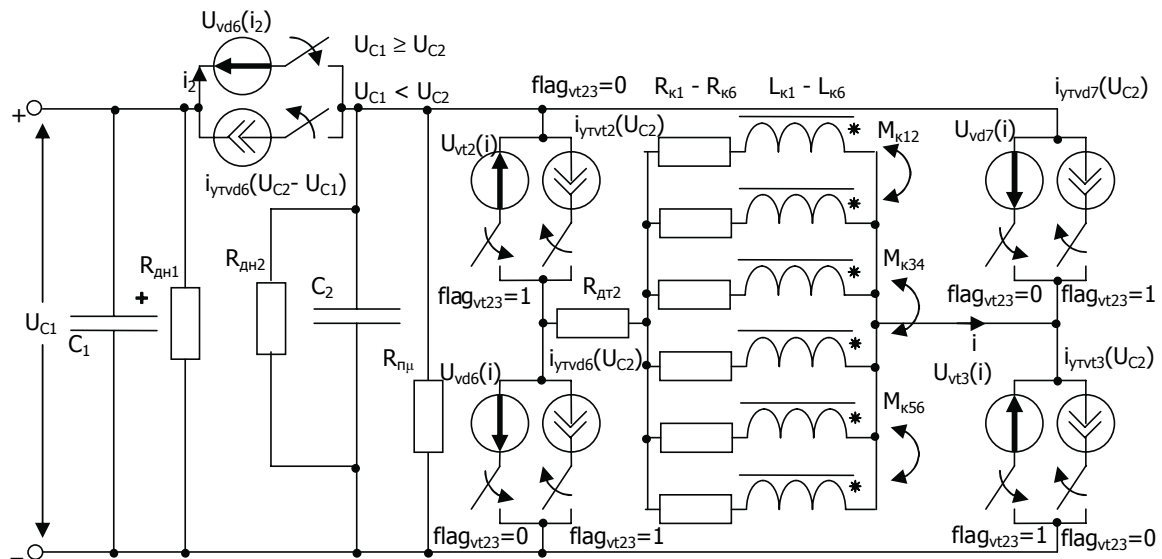


Рис. 2. Схема замещения силовой части САУ ВЭМА. Преобразователь частоты

Вынуждающая колебания электромагнитная сила определяется:

$$F_{\text{ЭМ}} = \frac{\Psi_K^2}{w_K^2 S_{\text{МП}} \mu_0}, \quad (3)$$

где:  $\mu_0$  – магнитная проницаемость вакуума.

Уравнение равновесия механического контура ВЭМА:

$$F_{\text{ЭМ}}(t) = m_{\Sigma} \frac{d^2 x(t)}{dt^2} + R_{\text{МЭХ}}(V(t)) \frac{dx(t)}{dt} + x(t) k_{\Sigma}. \quad (4)$$

Математическая модель системы питания и управления ВЭМА имеет допущения:

- все якоря-активаторы колеблются синхронно вследствие конструктивной идентичности колебательных каналов,
- ключи преобразователя частоты работают синхронно,
- потери в стали вынесены в электрический контур и учитываются эквивалентным сопротивлением  $R_{\text{нл}}$ .

Для интегрирования дифференциальных уравнений, входящих в систему (1), применён метод Рунге-Кутты второго порядка [8]. Шаг интегрирования определяется, исходя из постоянных времени механического и электрического контура ВЭМА.

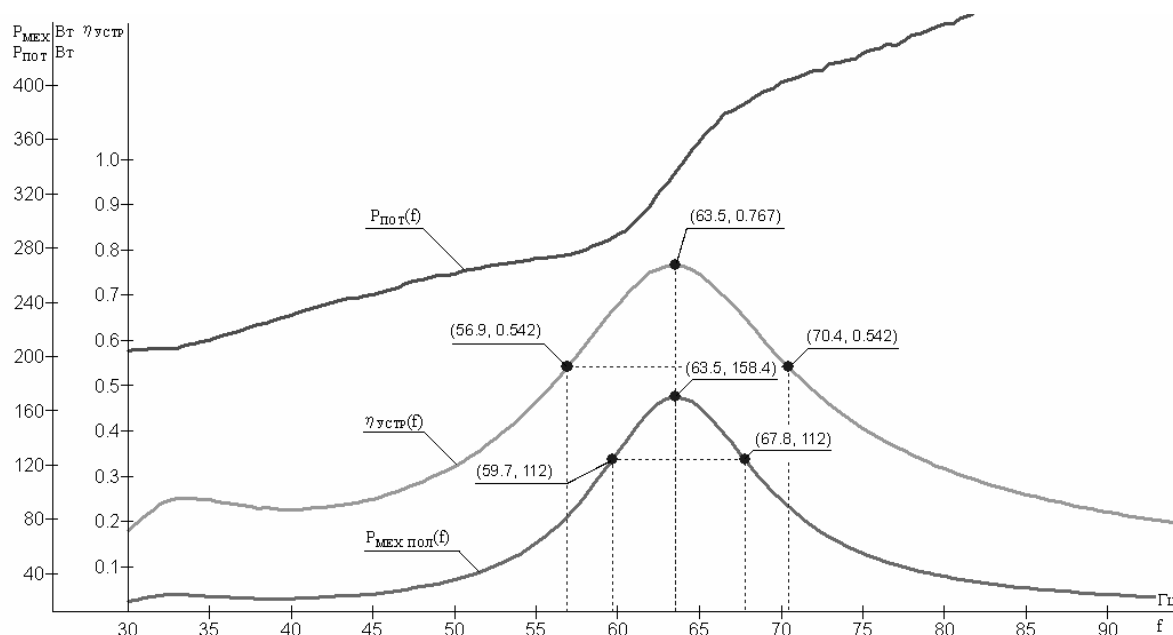


Рис. 3. Энергетические координаты ВЭМА в функции частоты

Для моделирования процессов в САУ ВЭМА разработан прикладной программный продукт, позволяющий получать и анализировать временные и частотные характеристики при работе САУ.

Согласно полученным энергетическим характеристикам в диапазоне частот от 30 до 70 Гц наблюдается максимум КПД  $\eta_{устр}=0,77$ .

Таким образом, разработанная математическая модель САУ ВЭМА позволяет получать и анализировать временные и частотные характеристики при работе активатора в различных рабочих средах.

#### СПИСОК ЛИТЕРАТУРЫ

1. Пат. 2128547 РФ. МПК В01F 11/00, 13/08. Виброструйный перемешиватель и разжижитель жидкостей и суспензий / С.П. Гузев, В.А. Данекер, С.В. Рикконен, А.К. Хорьков. — Оpub. в Б.И. № 10, 1999.
2. Глазырин А.С., Данекер В.А., Доленко В.В., Саидов В.С. Разработка системы управления виброструйным электромеханическим преобразователем // Технология и автоматизация атомной энергетики: Матер. регион. научно-техн. конф. — Северск, 2001. — С. 22–24.
3. Глазырин А.С., Бекишев Р.Ф. Система управления виброструйным электромеханическим преобразователем // Проблемы развития автоматизированного электропривода промышленных установок: Матер. Всеросс. научно-практ. конф. — Новокузнецк, 2002. — С. 48–50.
4. Глазырин А.С., Данекер В.А., Доленко В.В., Саидов В.С. Математическая модель виброструйного электромеханического преобразователя // Технология и автоматизация атомной энергетики: Матер. регион. научно-техн. конф. — Северск, 2001. — С. 19–21.
5. Гаранин А.Ю., Силаева Е.В., Шлегель О.А., Попенко В.Н. Расчёт тягового усилия электромагнита постоянного тока // Электротехника. — 2003. — № 2. — С. 55–57.
6. Глазырин А.С., Данекер В.А., Кособуцкий А.А. Свободно-вынужденные колебания в механической системе виброструйного электропривода на резонансной частоте // Электромеханика, электротехнологии и электроматериаловедение: Труды V Междунар. конф. МКЭЭЭ-2003. Ч. I. Крым. — Алушта, 2003. — С. 786–789.
7. Матханов П.Н., Гоголицын Л.З. Расчёт импульсных трансформаторов. — Л.: Энергия, 1980. — 112 с.
8. Бахвалов Н.С. Численные методы. — М.: Наука, 1973. — 632 с.